

# 動画画像処理による速度場解析法とその応用

橋本 基\*

## A Method Analyzing Velocity Field by Dynamic Image Processing and its Applications

Hajime Hashimoto\*

### Abstract

Some methods are proposed for velocity field analysis by dynamic image processing. The matching method and the gradient method are well-known. However, the matching method has problem of mismatching, and the gradient method is easily affected by noise in a image.

We developed a original method to analyze the velocity field based on space-time correlation functions of intensities at pixels in a sequential image. Our method is rather simple and robust to noise. In this report, the theory of the method and some results of velocity field calculated from artificial image data are described. Measurements of Kalman vortex flow and chemical wave propagation are shown as examples of applications.

### 1. まえがき

動画画像（時間的に変化する連続な画像列）から有益な情報を得るための画像処理の研究は広く行なわれているが<sup>1)</sup>、代表的なものとしてオプティカルフローの検出があげられる。既知の速度で移動するテレビカメラで静的なシーンを捉える場合や、固定されたカメラで移動する物体を観測するような場合、あるパターンが画面中を移動するように見える。これはオプティカルフローと呼ばれ、静的なシーンの3次元情報や物体の移動速度等は、画像中のパターンの見かけの速度に反映される。すなわち、オプティカルフローの検出とは、画像中のパターンの見かけの速度を求めることである。

オプティカルフロー（速度ベクトル）を検出する方法はいくつかあり、代表的なものとしてマッチング法<sup>2, 3)</sup>とグラディエント法<sup>4)</sup>と呼ばれる方法がある。マッチング法では、基準となる画像フレームからある特徴パターンを抽出し、この特徴パターンが次のフレームでどこに移動したかをパターンマッチングで探索する。

そして2枚の画像での特徴パターンの距離（ずれ）から速度ベクトルを求める方法である。この方法では計算に時間を要すうえに誤対応の問題があり、精度はよくない。また、グラディエント法は連続画像の時間・空間的な勾配と速度の関係式から解析的に速度ベクトルを求めるものであるが、基本的に微分演算に基づいており、実際の解析では画像データに含まれる雑音に弱いという問題がある。

我々は、オプティカルフローを検出する方法の1つとして、時空間相関法と呼ぶ方法を開発した<sup>5-10)</sup>。時空間相関法とは、動画画像データのある画素とそれに隣接する画素の輝度変化の相互相関関数（空間的に異なる点の時間相関であるのでこれを時空間相関関数と呼ぶ）を計算し、これから得られる遅れ時間と最大相関値を用いて解析的に速度ベクトルを求める方法である。時空間相関法は基本的には積分演算でに基づいており、解析的な式で速度を計算することができ、比較的簡単で雑音にも強いという特徴がある。

本報告では、時空間相関法の理論を述べ、シミュレーションによる解析例から本方法の特徴を示す。さらに本方法の応用として、カルマン渦流と化学反応波の計測例を示す。

\* 宇部工業高等専門学校電気工学科

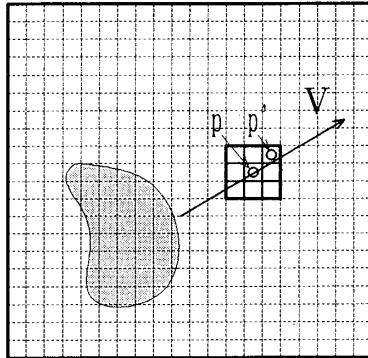


図1 動画像モデル

## 2. 理論 (時空間相関法)

### 2. 1 基本的な概念

図1に示すように、画像中を物体が速度  $\mathbf{v}$  で移動する状況を考える。ある点  $p$  で輝度を観測すると、物体の通過に伴って変化する。また、ある点から微小距離離れた点  $p'$  で観測すると、輝度変化の形状はほとんど同じであるが時間的に異なる。この時間的なずれ(遅れ時間)は、主に物体の速度と2点の位置関係に依存する。そこで、2点の位置関係と遅れ時間が分かれば、逆に速度を推定することが可能となる。これが時空間相関法の基本的な考えである。

計算機に取り込まれた画像はデジタル動画像(等時間間隔でサンプリングした複数枚のデジタル画像)である。実際の解析では、デジタル動画像で  $3 \times 3$  の微小領域(図参照)に注目し、この領域内での局所的な速度ベクトルを求める。以下、原理を説明する。

### 2. 2 時空間相関関数

微小領域の中心画素と、それに隣接する周囲の画素  $k$  での輝度変化の相関関数(時空間相関関数)  $c_k(\tau)$  を次式で定義する。

$$c_k(\tau) = \frac{\int f_o(t) f_k(t+\tau) dt}{\left\{ \int f_o^2(t) dt \right\}^{1/2} \left\{ \int f_k^2(t+\tau) dt \right\}^{1/2}} \quad \bullet\bullet(1)$$

ここで  $f_o(t)$ 、 $f_k(t)$  は、それぞれ中心画素、 $k$  番目の隣接画素の輝度変化である。

この時空間相関関数から、遅れ時間と最大相関値を求める。 $3 \times 3$  の微小領域で中心画素に隣接する画素は8個あり、 $k$  は1~8の値をとる。以下、中心画素と  $k$  番目の隣接画素間の遅れ時間と最大相関値をそれ

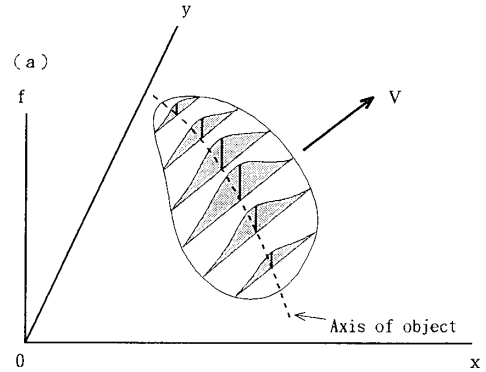


図2 物体の軸

ぞれ  $\tau_k$ 、 $\gamma_k$  とする。これらの値から速度を求める方法として仮定する条件が異なる2つの解析手法がある。

### 2. 3 解析手法

#### 2. 3. 1 手法1

画像中をある物体(特徴パターン)が移動するものとし、手法1では以下の条件を仮定する。

- (1) 速度は一定である。
- (2) 物体の形状(空間的な輝度分布)は滑らかで変化しない。
- (3) 物体のサイズは微小領域より大きい。
- (4) 物体の軸は物体の速度ベクトルと垂直である。

条件4の物体の軸は、図2に示すように、物体の輝度分布を物体の速度ベクトル  $\mathbf{v}$  と平行な垂直な面で切ったときの断面(斜線部分)の最大値となる位置を  $x-y$  平面上で結んだ線(点線)をいう。一般に、物体の軸は図に示すように曲線であるが、条件4はこれが速度ベクトルと垂直な直線であることを意味する。この条件を満たす物体の形状としては、同心円状の輝度分布をもつ円形物体や平面波状で移動方向が波面と垂直なもの等が考えられる。上の4つの条件を満足する場合、相関関数から得られる情報のうち、遅れ時間だけから速度を求めることができる。

図3に示すような円形物体が速度  $\mathbf{v}$  で移動する状況を考える。 $3 \times 3$  の格子は注目した微小領域を示し、 $\circ$  は各画素の中心位置である。点線  $l_1$  は物体の軸であり、速度ベクトルに垂直である。点線  $l_2$ 、 $l_3$  は、それぞれ中心画素(点  $p_o$ )、隣接画素  $k$  (点  $p_k$ ) を通り、物体の軸に平行な直線である。中心画素から隣接画素  $k$  に向くベクトル  $\Delta \mathbf{p}_k$  は、隣接画素  $k$  の中心画素からの距離を示すもので、既知であるとする。さらに、

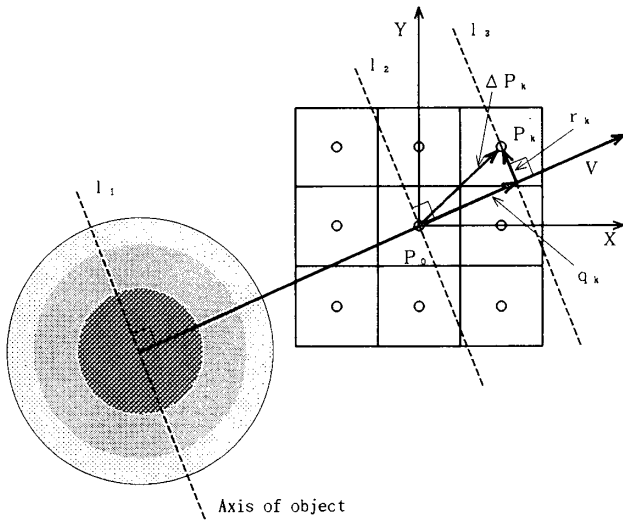


図3 解析理論上のパラメータ (手法1)

中心画素から速度ベクトルと点線  $l_3$  の交点に向くベクトルを  $q_k$  , 速度ベクトルと点線  $l_3$  の交点から隣接画素  $k$  に向くベクトルを  $r_k$  とする。

ここで、物体の軸が点線  $l_2$  から  $l_3$  に速度  $v$  で移動する時間が遅れ時間  $\tau_k$  であるから、ベクトル  $q_k$  は次のように表わせる。

$$q_k = v \cdot \tau_k \quad \dots(2)$$

また幾何学的な関係から、ベクトル  $r_k$  は次のように表わせる。

$$r_k = \Delta p_k - q_k \quad \dots(3)$$

さらにベクトル  $r_k$  は速度ベクトル  $v$  と垂直であるから、次のようになる。

$$r_k \cdot v = 0 \quad \dots(4)$$

式(2)~(4)より、次の関係が得られる。

$$(\Delta p_k - v \cdot \tau_k) \cdot v = 0 \quad \dots(5)$$

上式を変形し、次式を得る。

$$\tau_k = \frac{v_x}{|v|} \Delta p_{kx} + \frac{v_y}{|v|} \Delta p_{ky} \quad \dots(6)$$

すなわち、未知の速度成分  $v_x$  ,  $v_y$  と既知の遅れ時間  $\tau_k$  および隣接画素距離  $\Delta p_{kx}$  ,  $\Delta p_{ky}$  の関係が得られた。隣接画素は8個あるので、評価関数  $E$  を

$$E = \sum_{k=1}^8 \left\{ \tau_k - \left( \frac{v_x}{|v|} \Delta p_{kx} + \frac{v_y}{|v|} \Delta p_{ky} \right) \right\}^2 \quad \dots(7)$$

として最小二乗法で  $v_x$  ,  $v_y$  について解き、以下の結果を得る。

$$\begin{cases} v_x = \alpha (\sum \tau_k \Delta p_{kx} \sum \Delta p_{ky}^2 - \sum \tau_k \Delta p_{ky} \sum \Delta p_{kx} \Delta p_{ky}) \\ v_y = \alpha (\sum \tau_k \Delta p_{ky} \sum \Delta p_{kx}^2 - \sum \tau_k \Delta p_{kx} \sum \Delta p_{kx} \Delta p_{ky}) \end{cases} \quad \dots(8)$$

ただし、

$$\alpha = \frac{\{\sum \Delta p_{kx}^2 \sum \Delta p_{ky}^2 - (\sum \Delta p_{kx} \sum \Delta p_{ky})^2\}}{\{\sum \tau_k \Delta p_{kx} \sum \Delta p_{ky}^2 - \sum \tau_k \Delta p_{ky} \sum \Delta p_{kx} \Delta p_{ky}\}^2 + \{\sum \tau_k \Delta p_{ky} \sum \Delta p_{kx}^2 - \sum \tau_k \Delta p_{kx} \sum \Delta p_{kx} \Delta p_{ky}\}^2} \quad \dots(9)$$

### 2. 3. 2手法2

手法2では以下の条件を仮定する。

- (1) 速度は一定である。
- (2) 物体の形状 (空間的な輝度分布) は滑らかで変化しない。
- (3) 物体のサイズは微小領域より大きい。

これらの条件は手法1の条件4を除いたものであり、手法2はより一般的な形状に対応することが可能となる。ここで図4のような状況を考える。物体の形状が任意で、物体の軸が速度ベクトルと垂直でないことが

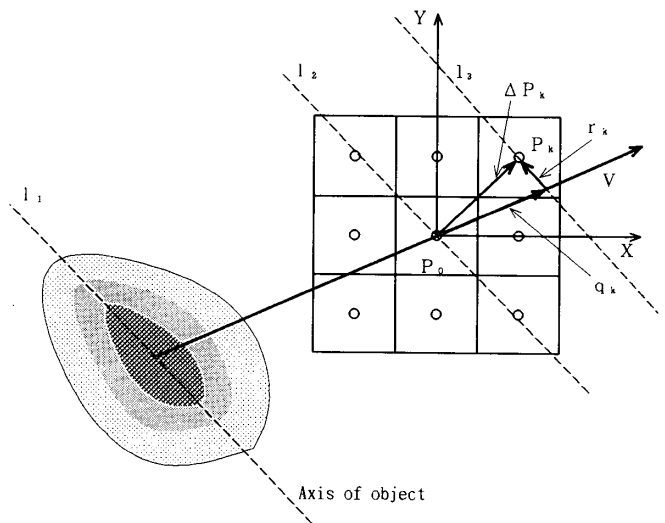


図4 解析理論上のパラメータ (手法2)

手法1の図3と異なる。ここで物体の軸は一般に曲線であるが、条件3を満足すれば物体の軸は直線と見せる。手法1と同様な考察から、次式が得られる。

$$\mathbf{r}_k = \Delta \mathbf{p}_k - \mathbf{v} \cdot \tau_k$$

$$= (\Delta p_{kx} - v_x \tau_k, \Delta p_{ky} - v_y \tau_k) \dots (10)$$

しかし、ベクトル  $\mathbf{r}_k$  と速度ベクトルは垂直でないから、式(4)のような関係は成立しない。そこで別の方向から考える必要がある。

ここで時刻  $t = 0$  での画像関数を  $F(x, y)$  とすると、時刻  $t$  での点  $p_0, p_k$  での画像関数は次式のように表わせる。

$$\begin{cases} f_0(t) = F(p_{0x} - v_x t, p_{0y} - v_y t) \\ f_k(t) = F(p_{0x} + \Delta p_{kx} - v_x t, p_{0y} + \Delta p_{ky} - v_y t) \end{cases} \dots (11)$$

式(11)を使って式(1)の時空間相関関数を書き換えると次のようになる。

$$c_k(\tau) = \frac{\int F(Q, R) F(Q+X, R+Y) dt}{\{\int F^2(Q, R) dt\}^{1/2} \{\int F^2(Q+X, R+Y) dt\}^{1/2}} \dots (12)$$

ただし、

$$\begin{cases} Q = p_{0x} - v_x t \\ R = p_{0y} - v_y t \end{cases} \dots (13)$$

$$\begin{cases} X = \Delta p_{kx} - v_x \tau \\ Y = \Delta p_{ky} - v_y \tau \end{cases} \dots (14)$$

である。

式(12)および式(14)から、時空間相関関数は中心画素位置を原点とする  $X-Y$  平面上で、図5のよう表わすことができる。ここでは  $\tau$  の時間スケールは  $v_x \tau, v_y \tau$  で長さに変換される。従って、 $c_k(\tau)$  は画素  $k$  を通り、速度ベクトルに平行な線上（網かけ部分の上の曲線）にある。そして時空間相関関数の最大値は、物体の軸と平行な直線  $l_2$  上にある。ここで直線  $l_2$  の傾き（物体の軸の傾き）を  $\chi$  とすると、時空間相関関数の最大値の  $X-Y$  空間での位置  $(X_{pk}, Y_{pk})$  は次の関係式で表わされる。

$$Y_{pk} = \chi X_{pk} \dots (15)$$

一方、時空間相関関数の最大値を結ぶ曲線は、条件2, 3を満足すれば、原点での値が1で原点から離れるに従って減衰する滑らかな曲線である。以上のことから、

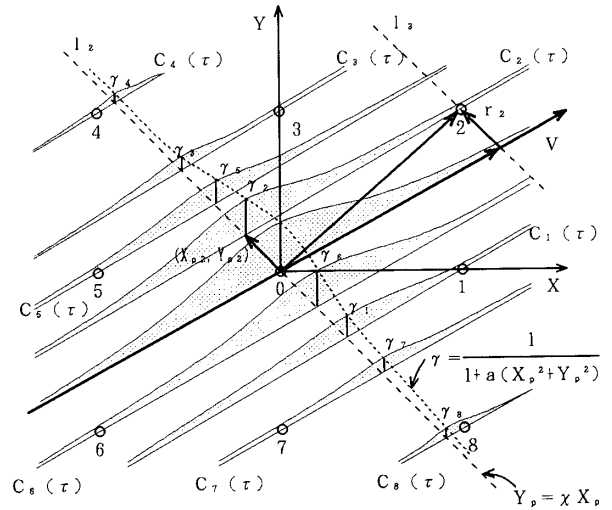


図5 時空間相関関数の空間表示

時空間相関関数の最大値  $\gamma_k$  は、 $a$  をパラメータとして次のような関数で表わせる。

$$\gamma_k = \frac{1}{1 + a (X_{pk}^2 + Y_{pk}^2)} \dots (16)$$

それぞれの画素  $k$  で式(15), (16)から時空間相関関数の最大値の位置を解き、次式を得る。

$$(X_{pk}, Y_{pk}) = (\lambda_x \xi_k, \lambda_y \xi_k) \dots (17)$$

ただし、

$$\xi_k = (1 / \gamma_k - 1)^{1/2} \dots (18)$$

$$\begin{cases} \lambda_x = 1 / (a + \chi^2 a)^{1/2} \\ \lambda_y = \chi / (a + \chi^2 a)^{1/2} \end{cases} \dots (19)$$

である。

原点から点  $(X_{pk}, Y_{pk})$  へのベクトルは  $\mathbf{r}_k$  と等しく、

$$\mathbf{r}_k = (X_{pk}, Y_{pk}) = (\lambda_x \xi_k, \lambda_y \xi_k) \dots (20)$$

と表わせる。式(10)と式(20)から次の関係式が得られる。

$$\begin{cases} \lambda_x \xi_k = \Delta p_{kx} + v_x \tau_k \\ \lambda_y \xi_k = \Delta p_{ky} + v_y \tau_k \end{cases} \dots (21)$$

すなわち、未知の速度成分  $v_x, v_y$  と、既知の遅れ時間  $\tau_k$ 、最大相関値  $\gamma_k$  および隣接画素距離  $\Delta p_{kx}, \Delta p_{ky}$  の関係が得られた。評価関数  $E$  を

$$E = \sum_{k=1}^8 \{ \lambda_x \xi_k - (\Delta p_{kx} + v_x \tau_k) \}^2 + \{ \lambda_y \xi_k - (\Delta p_{ky} + v_y \tau_k) \}^2 \dots (22)$$

として最小二乗法で解き、以下の式を得る。

$$\begin{cases} v_x = \frac{\sum \tau_k \xi_k \sum \Delta p_{kx} \xi_k - \sum \tau_k \Delta p_{kx} \sum \xi_k^2}{(\sum \tau_k \xi_k)^2 - \sum \tau_k^2 \sum \xi_k^2} \\ v_y = \frac{\sum \tau_k \xi_k \sum \Delta p_{ky} \xi_k - \sum \tau_k \Delta p_{ky} \sum \xi_k^2}{(\sum \tau_k \xi_k)^2 - \sum \tau_k^2 \sum \xi_k^2} \end{cases} \dots (23)$$

$$\begin{cases} \lambda_x = \frac{\sum \tau_k \xi_k \sum \Delta p_{kx} \tau_k - \sum \xi_k \Delta p_{kx} \sum \tau_k^2}{(\sum \tau_k \xi_k)^2 - \sum \tau_k^2 \sum \xi_k^2} \\ \lambda_y = \frac{\sum \tau_k \xi_k \sum \Delta p_{ky} \tau_k - \sum \xi_k \Delta p_{ky} \sum \tau_k^2}{(\sum \tau_k \xi_k)^2 - \sum \tau_k^2 \sum \xi_k^2} \end{cases} \dots (24)$$

ここで、速度を求める式(23)と共に得られた式(24)の  $\lambda_x$ ,  $\lambda_y$  は、式(19)から  $\lambda_y / \lambda_x = \chi$  であり、物体の軸の傾きを示すものである。

### 3. シミュレーションによる2手法の比較

上に述べたように、時空間相関法には2つの解析手法がある。ここで計算機で作成した模擬動画データから速度を解析し、2つの手法による違いや特徴を示す。模擬動画のサイズは  $64 \times 64$  画素、フレーム数は100とした。

図6は、円形物体(同心円状の輝度分布を持つ物体)が移動する例である。物体のサイズは直径10画素で、与えた速度は  $v_x = 0.8$  [pixel/frame],  $v_y = 0.3$  [pixel/frame] である。図(a)に物体形状と移動方向を、図(b), (c)に2手法による解析結果を速度ベクトル図として示す。このような対象では2手法に差はなく、両者とも正しい結果が得られている。

図7は、長径10画素、短径5画素の楕円形物体が移動する例である。手法2ではほぼ正しい結果が得られているが、手法1の結果は正しくない。この理由は、楕円形物体が図のような方法に移動する場合、手法1の条件4を満足しないためである。

図8は、幅10画素の平面波状パターンで、移動方向が波面と垂直である場合の例である。この例では、手法1では正しい結果が得られているが、手法2の結果

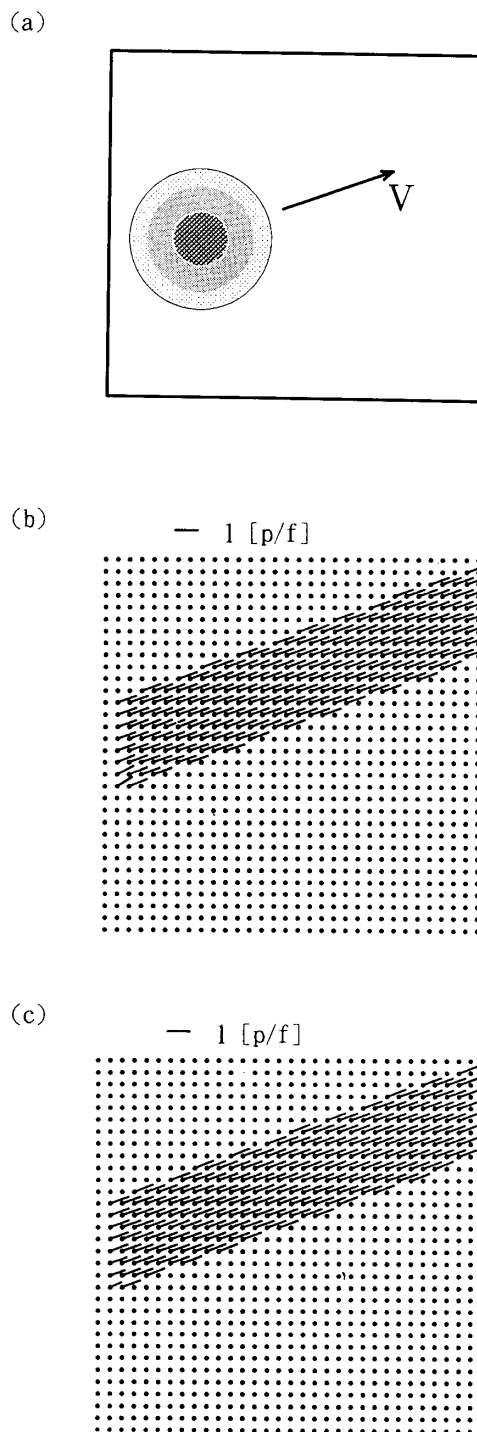


図6 シミュレーション例1(円形物体)  
 (a) 物体モデル  
 (b) 手法1による解析結果  
 (c) 手法2による解析結果

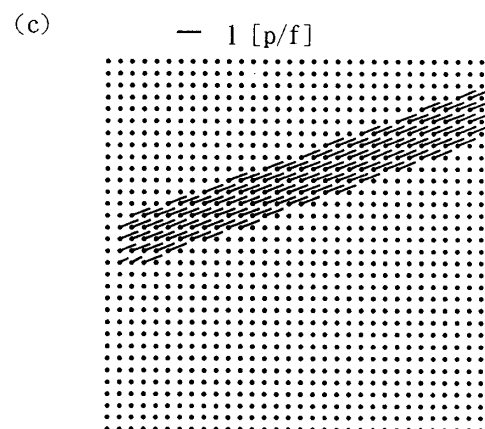
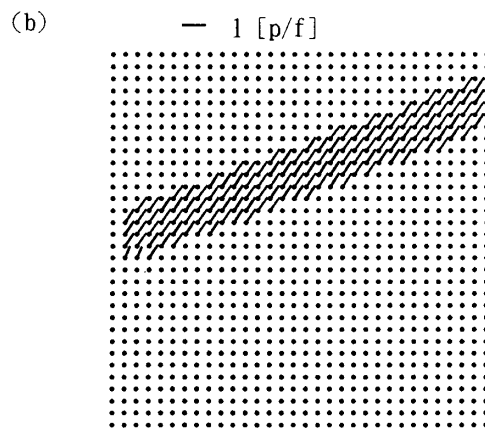
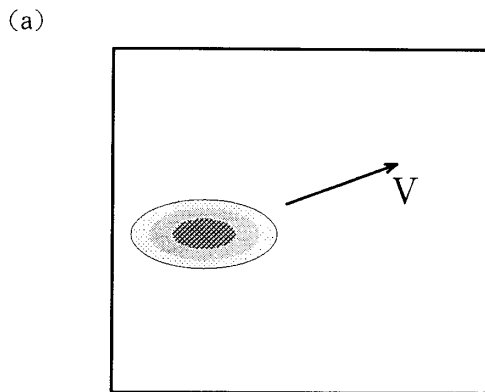


図7 シミュレーション例2 (楕円形物体)  
 (a) 物体モデル  
 (b) 手法1による解析結果  
 (c) 手法2による解析結果

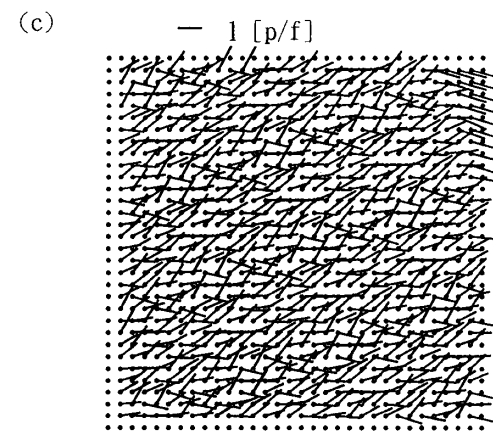
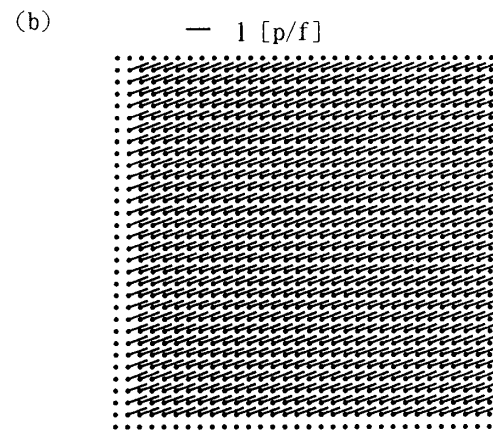
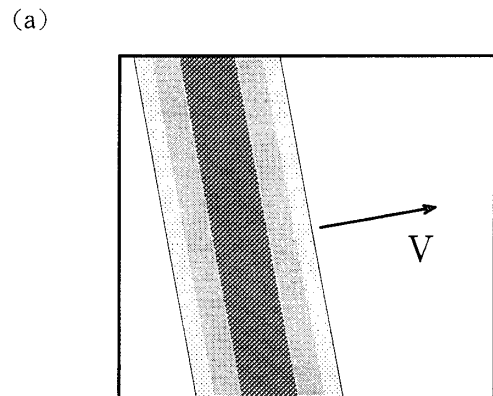
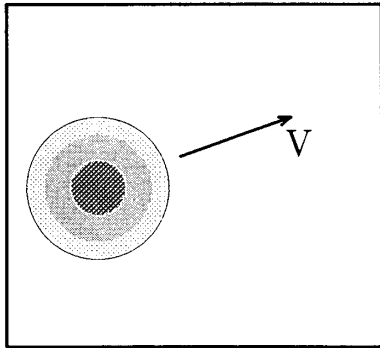
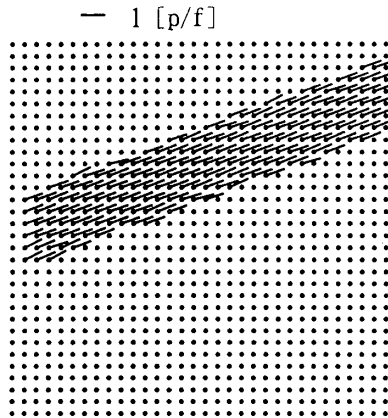


図8 シミュレーション例3 (平面波状物体)  
 (a) 物体モデル  
 (b) 手法1による解析結果  
 (c) 手法2による解析結果

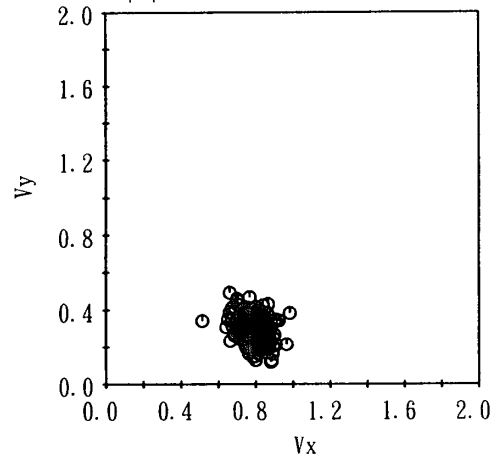
(a)



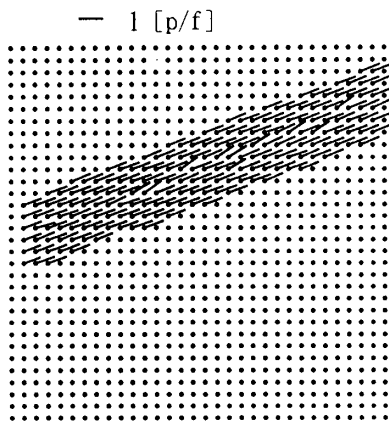
(b)



Vx : av. = 0.79 sd. = 0.04  
 Vy : av. = 0.30 sd. = 0.04  
 |V| : av. = 0.85 sd. = 0.04



(c)



Vx : av. = 0.79 sd. = 0.06  
 Vy : av. = 0.32 sd. = 0.10  
 |V| : av. = 0.85 sd. = 0.06

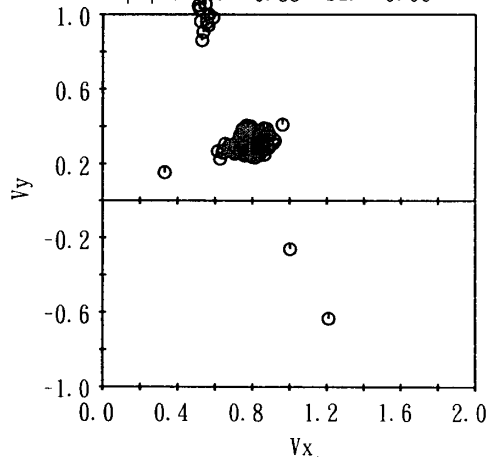


図9 シミュレーション例4 (円形物体, ノイズあり)  
 (a) 物体モデル  
 (b) 手法1による解析結果  
 (c) 手法2による解析結果

は正しくない。手法2でこのようにばらつきが大きくなる原因は、手法2が最大相関値を用いているためと考えられる。すなわち、平面波状パターンでは最大相関値は1になるはずであるが、計算中の桁落ち誤差によりわずかではあるが1と異なる値になる。そのために速度が誤った方向に推定されると考えられる。

図9は、図6と同じ円形物体の移動であるが、画像データに約3%の正規分布雑音を加えた例である。解析結果としてそれぞれ速度ベクトル図(左側)と速度ベクトルの分布図(右側)を示す。両手法とも、図6の雑音を加えない場合と比較するとばらつきは大きくなっているものの、ほぼ正しい結果が得られている。手法1では与えた速度を中心に分布しているが、手法2では与えた速度と明らかに異なるものがあり、ばらつきの程度は手法1より大きい。その原因として、時空間相関関数から得られる情報のうち、遅れ時間は雑音の影響が小さく、最大相関値は雑音の影響を受け易いためと考えられる。すなわち雑音がある場合、雑音がない場合に比較して最大相関値は小さくなる。そのために最大相関値を用いる手法2では雑音の影響が大きく、誤った速度を推定することになる。これに対して手法1は遅れ時間だけ用いるので、雑音の影響が小さい。

以上のシミュレーション例から得られた知見を要約すると、次のようになる。

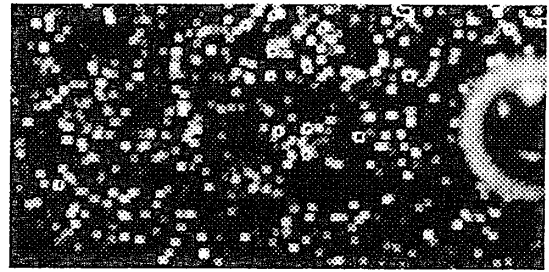
- (1) 円形物体では2手法に差はない。
- (2) 平面波状パターンを除く一般的な形状では手法2が良い。
- (3) 平面波状パターンには手法1が良い。
- (4) 2手法とも雑音に比較的強いが、手法1の方がより強い。

## 4. 応用解析例

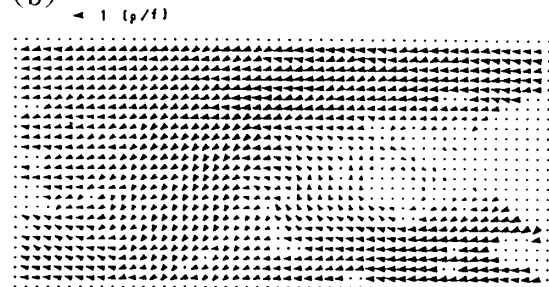
### 4. 1 カルマン渦流

最初の応用例として、カルマン渦流の解析例を示す。用いた画像データのスナップショットを図10(a)に示す。右側の白い半円が水中に置いた棒(直径2[cm])で、白い点は流れを可視化するために入れたトレーサ粒子(直径約200[ $\mu\text{m}$ ], 比重約1)である。流れは右から左方向で、平均流速は8[mm/s]である。このような画像を15[Hz]で180枚(12秒間)取り込んだ。流れの時間変化を見るために、4秒ずつに分けて解析した

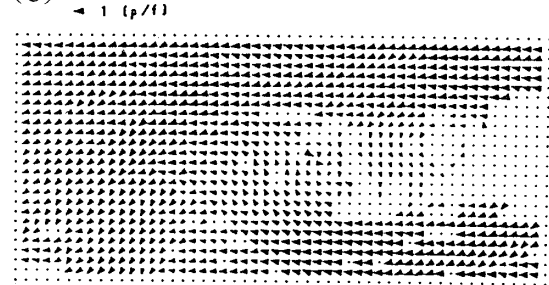
(a)



(b)



(c)



(d)

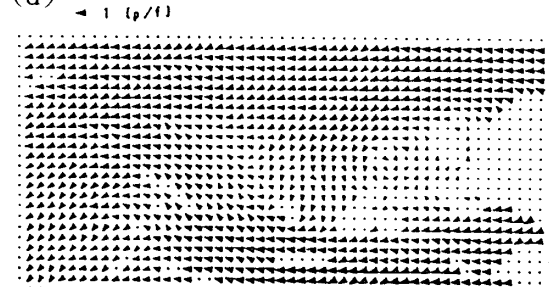


図10 解析例1 (カルマン渦流)  
 (a) 画像データのスナップ  
 (b) 0~4秒間の解析結果  
 (c) 4~8秒間の解析結果  
 (d) 8~12秒間の解析結果

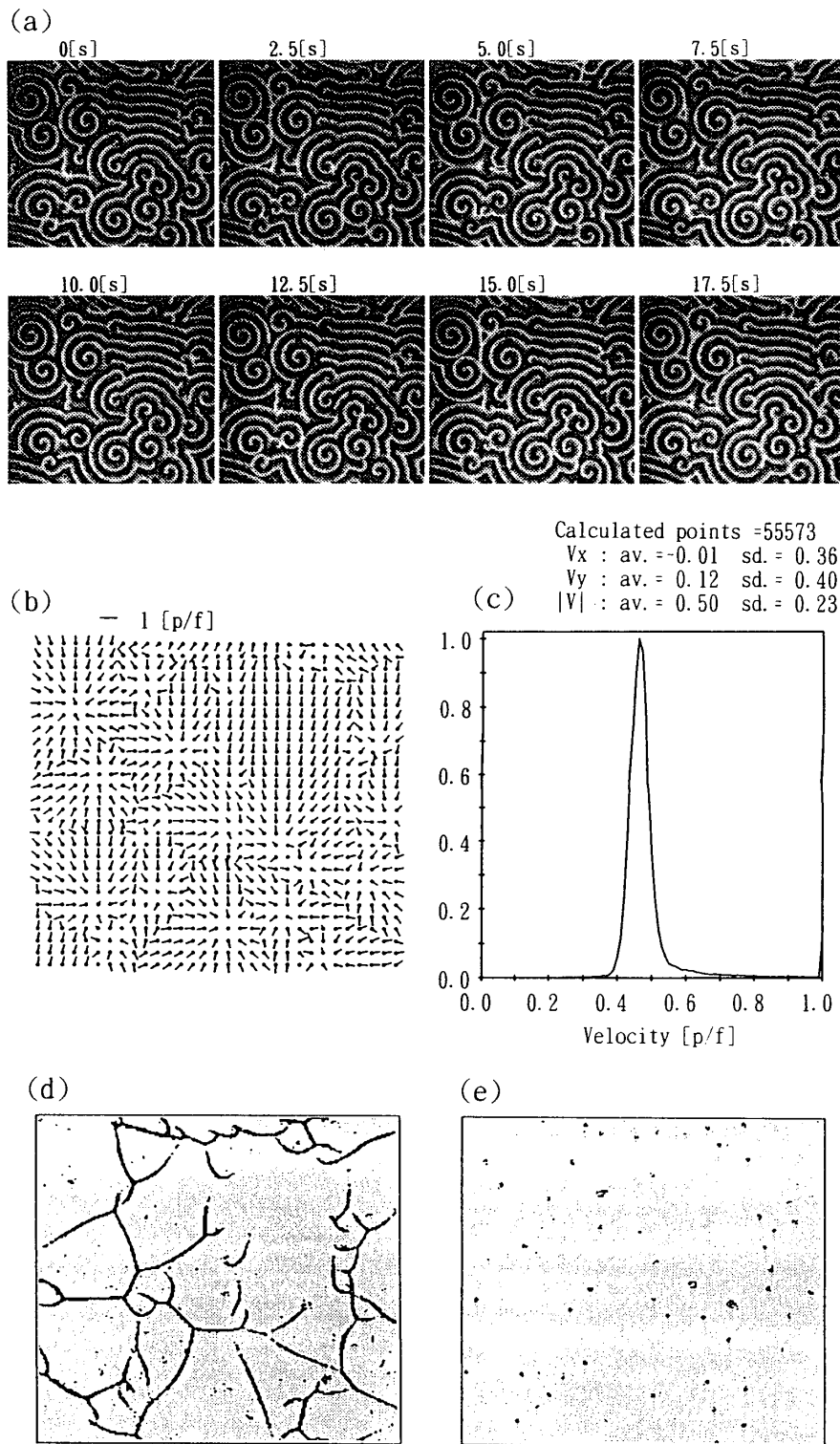


図11 応用解析例2 (B-Z反応波)  
 (a) 画像データのスナップ (b) 速度ベクトルの解析結果 (c) 速度のヒストグラム  
 (d) 速度が0.55[p/f]以上の領域 (e) 速度が0.38[p/f]以下の領域

結果を同図(b), (c), (d) に示す。ここでは速度ベクトルを三角形で表わした。尖った方向が流れの方向で、面積で速度の大きさを表わしている。

解析結果から、棒の後方(左側)では流速が小さく、蛇行していることがわかる。詳しく見ると、図(b)では中央やや右に時計方向の渦があり、これが図(c)では左方向に移動して小さくなり、棒の直後には新たに反時計方向の渦が発生している。さらに図(d)では時計方向の渦は消滅し、反時計方向の渦は左方向に移動していることがわかる。

#### 4. 2 化学反応波

図11(a)は、B Z (Belousov-Zhabotinsky) 反応<sup>11)</sup>と呼ばれる化学反応のスナップ画像である。B Z 反応は、酸化/還元反応を周期的に繰り返し、ある点で発生した反応は波として周囲に伝搬していく。そして他の発生源からの波や壁と衝突すると消滅する。この画像では多数の渦巻き状パターンの発生源がある。このような画像を画面サイズ250×230画素、サンプリング間隔 0.5秒で50枚取り込み、解析を行なった。

図11(b), (c)は解析結果の速度ベクトル図と速度の絶対値のヒストグラムである。速度ベクトル図から、反応波は発生源を中心として外側に伝搬している様子がわかる。また速度の絶対値のヒストグラムの形状は、左右に裾を引いていることがわかる。

反応波の伝搬速度Nは、次式で表わされることが知られている<sup>12)</sup>。

$$N = c - DK \quad \dots(26)$$

ここで、cは平面波での反応波の伝搬速度、Dは媒質の拡散係数、Kは反応波の曲率である。反応波が衝突する場所では曲率は負となり、上式はこのような場所では伝搬速度が大きくなることを意味している。一方、波の発生源付近では曲率は正で周囲より大きくなるので、伝搬速度は遅いことになる。速度の絶対値のヒストグラムが左右に裾を引いているのは、このような現象を反映しているためである。そこで、速度の小さい領域または大きい領域を抜き出すと、反応波が発生する場所または衝突する場所がわかると考えられる。速度ベクトルの解析結果から速度の絶対値で 0.55[p/f]以上の領域を抜き出したものを図(d)に、0.38[p/f]以下の領域を抜き出したものを図(e)に示す。図(d)では波の衝突する部分が線として表わされ、図(e)では波の発生場所が点として表わされている。

#### 5. あとがき

本報告では、動画像から速度ベクトルを求める方法として、時空間相関法と呼ぶ解析手法を述べた。解析法には条件に異なる2つの手法があり、計算機シミュレーションによって両者の特徴を示した。さらに応用計測例として、カルマン渦流と化学反応波の解析例を紹介し、本手法の実用性を示した。今後、種々の応用計測を試みたい。

なお今回の解析に用いたカルマン渦流のデータは山田英巳氏(徳山工業高等専門学校)、化学反応波のデータは山口智彦氏(工業技術院 物質工学工業技術研究所)に御提供いただいた。

#### 文 献

- 1) "動画像計測処理とその応用技術に関する技術動向調査報告書", 動画像計測処理研究会, (財)山口県産業技術開発機構, (1993).
- 2) H. Miike, Y. Kurihara, H. Hashimoto and K. Koga: Trans. IECE Jap., **E69** (1986), pp. 877-882.
- 3) S. T. Barnard and W. B. Thomson: IEEE Trans. Pattern Anal. Machine Intell., **PAMI-2**(1980), pp. 333-340.
- 4) J. M. Prager and M. A. Arbib: Comput. Graphics Image Process., **24**(1983), pp. 271-304.
- 5) B. K. P. Horn and B. G. Schunck: Artificial Intell., **17**(1981), pp. 185-203.
- 6) 三池, 栗原, 古賀: 信学論(D), **J70-D**(1987), pp. 836-839.
- 7) 三池, 古賀: 信学論(D), **J70-D**(1987), pp. 1508-1515.
- 8) K. Koga, H. Miike and M. Momota: Trans. IECE Jap., **E70**(1987), pp. 719-722.
- 9) 古賀, 三池: 信学論(D), **J72-D-II**(1989), pp. 507-516.
- 10) 三池, 古賀, 橋本, 百田, 野村: "パソコンによる動画像処理", 森北出版, (1993).
- 11) A. M. Zhabotinsky and A. N. Zaikin: J. Theor. Biol., **40**(1973), pp. 45-.
- 12) P. Foerster, S. C. Müller and B. Hess, Science, **241**(1988), pp. 685-687.

(平成7年9月25日受理)